

## LAPLACETRANSFORMEN

Antag  $\left\{ \begin{array}{l} x(t < 0) = 0 \\ \int_{-\infty}^{\infty} |x(t)| dt = \infty \end{array} \right. \Rightarrow \underline{\mathcal{F}\{x(t)\}} \not\exists$  (enl. grunddef.)

Låt  $\tilde{x}(t) = x(t)e^{-\sigma t}$ , där  $\sigma \in \Re$ , sådan att

$$\int_{-\infty}^{\infty} |\tilde{x}(t)| dt < \infty \quad \forall \quad \sigma \geq \text{något } \sigma_0 > 0$$

Följaktligen existerar  $\underline{\mathcal{F}\{\tilde{x}(t)\}}$



## (Enkelsidig) laplacetransform, forts.

$$\Rightarrow \mathcal{F}\{\tilde{x}(t)\} = \mathcal{F}\{x(t)e^{-\sigma t}\} = \int_{-\infty}^{\infty} x(t)e^{-(\sigma+j\omega)t} dt$$

$$= X(\sigma + j\omega) = \boxed{X_I(s) = \mathcal{L}_I\{x(t)\} = \int_{0^-}^{\infty} x(t)e^{-st} dt}$$

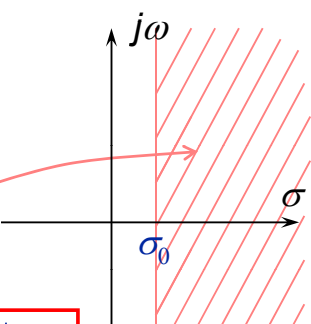
Låt  $s = \sigma + j\omega$

$X(s) = X_I(s)$ : Enkelsidig laplacetransform

Konvergensområde:  $\sigma = \operatorname{Re}\{s\} > \sigma_0$

OBS!  $\begin{cases} \mathcal{F}\{x(t)\} \not\exists \Leftrightarrow \sigma_0 > 0 \\ \mathcal{F}\{x(t)\} \exists \Leftrightarrow \sigma_0 < 0 \end{cases} \Rightarrow$

$$\boxed{X(\omega) = X(s)|_{s=j\omega}}$$





## Dubbelsidig laplacetransform

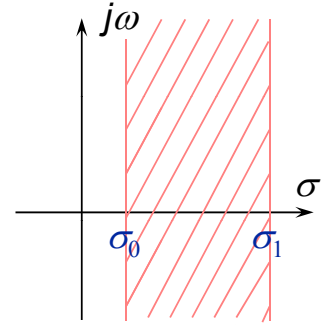
- Låt  $x(t) \exists \forall t$  och låt  $\mathcal{F}\{x(t)e^{-\sigma t}\} \exists$  för något reellt  $\sigma$  i intervallet  $\sigma_0 \leq \sigma \leq \sigma_1$ :

$$X_{II}(s) = \mathcal{L}_{II}\{x(t)\} = \int_{-\infty}^{\infty} x(t) e^{-st} dt$$

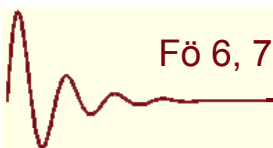
Dubbelsidig  
laplacetransform

Konvergensomr. för  $X_{II}(s)$ :  $\sigma_0 \leq \sigma = \operatorname{Re}\{s\} \leq \sigma_1$

( OBS! Om  $\mathcal{F}\{x(t)\} \exists \Leftrightarrow j\omega$ -axeln ligger i konvergensområdet för  $X(s)$ ! )



Copyright © Lasse Alfredsson, LiTH



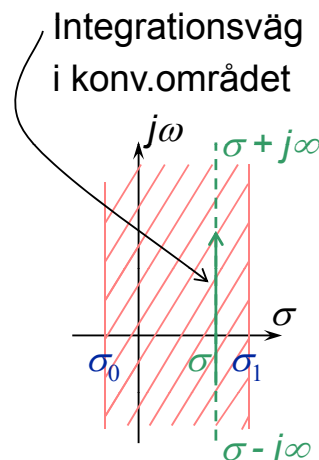
## Invers laplacetransform

Den inversa laplacetransformen är densamma för den dubbelsidiga som för den enkelsidiga transformen:

$$x(t) = \mathcal{L}^{-1}\{X(s)\} = \frac{1}{2\pi j} \int_{\sigma-j\infty}^{\sigma+j\infty} X(s) e^{st} ds$$

I denna kurs erhåller vi ofta (oftast) transformer och deras inverser från formelsamlingen!

Repetera gärna laplacetransformen – se Kapitel 2.4!



Copyright © Lasse Alfredsson, LiTH



## Kretsberäkningar, linjära **RLMC**-nät (passiva kretselement, laplacetransformerbara källor)

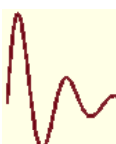
METODIK, beräkna godtycklig nätspänning / -ström:



Om nätförändringar sker vid  $t = t_0$  (här antas  $t_0 = 0$ )  $\Rightarrow$  Betrakta alla källor som inkopplade vid  $t = t_0 \Rightarrow \mathcal{L}\{x(t-t_0)u(t-t_0)\} = X(s)e^{-st_0}$

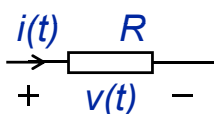


Copyright © Lasse Alfredsson, LiTH

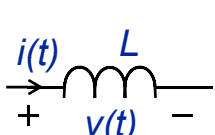
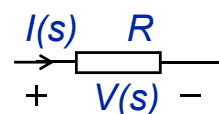


## Kretsberäkningar, metodik (forts)

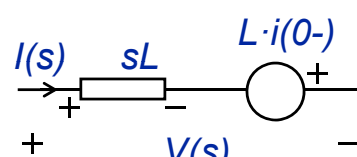
3) Ersätt passiva nätelement med operatorscheman:



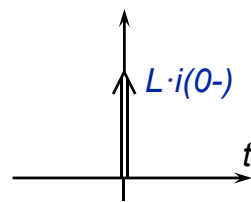
$$v(t) = R \cdot i(t) \quad \Leftrightarrow \quad V(s) = R \cdot I(s)$$



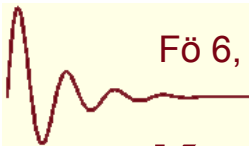
$$v(t) = L \frac{di(t)}{dt} \quad \Leftrightarrow \quad V(s) = sL \cdot I(s) - L \cdot i(0^-)$$



$L \cdot i(0^-)$  motsvarar en impulsformad spänning med styrkan  $L \cdot i(0^-)$  i tidsplanet ( $\mathcal{L}^{-1}\{K\} = K \cdot \delta(t)$ ):

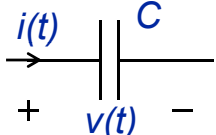


Copyright © Lasse Alfredsson, LiTH



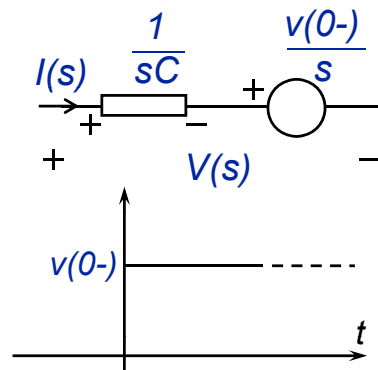
## Kretsberäkningar, metodik (forts)

3) forts.



$$i(t) = C \frac{dv(t)}{dt}$$

$$\Leftrightarrow V(s) = \frac{1}{sC} \cdot I(s) + \frac{v(0-)}{s}$$



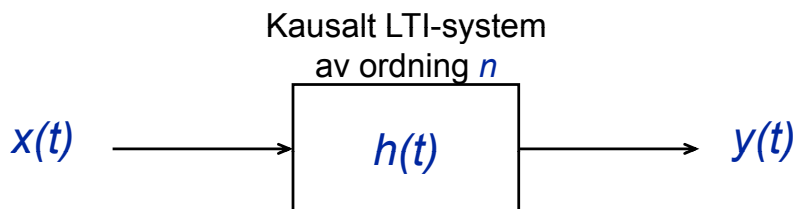
$v(0-)/s$  motsvarar en stegformad spänning med höjden  $v(0-)$  i tidsplanet ( $\mathcal{L}^{-1}\left\{\frac{K}{s}\right\} = K \cdot u(t)$ ):

- 4) Likströmsteori  $\Rightarrow$  Sökt storhets laplacetransform ( $Y(s)$ )
- 5) Inverstransformera  $\Rightarrow$  Sökt storhets tidsuttryck ( $y(t) = \mathcal{L}^{-1}\{Y(s)\}$ )

Copyright © Lasse Alfredsson, LiTH



## SYSTEMANALYS



Många LTI-system kan beskrivas med en differentialekvation:

$$a_0 y(t) + \sum_{i=1}^n a_i \frac{d^i y(t)}{dt^i} = b_0 x(t) + \sum_{j=1}^m b_j \frac{d^j x(t)}{dt^j}$$

Antag  $x(t<0) = 0$  (Kausalt system ger då  $y(t<0) = 0 \Rightarrow \mathcal{L}_I$  kan användas)

$$\mathcal{L}_I\left\{\frac{dy(t)}{dt}\right\} = sY(s) - y(0-) \quad \mathcal{L}_I\left\{\frac{d^i y(t)}{dt^i}\right\} = s^i Y(s) - s^{i-1}y(0-) - s^{i-2}y'(0-) - \dots$$

Copyright © Lasse Alfredsson, LiTH



## Systemanalys, Systemfunktion

 $\Rightarrow$ 

$$Y(s) = X(s) \cdot \frac{\sum_{j=0}^m b_j s^j}{\sum_{i=0}^n a_i s^i} + Y_{zi}(s)$$

$$\Rightarrow y(t) = y_{zs}(t) + y_{zi}(t)$$

Den *tvungna* svängningenDen *fria* svängningen ( ingår endast om systemet har begynnelseenergi )

System-  
funktionen:

$$H_I(s) = \left. \frac{Y_I(s)}{X_I(s)} \right|_{\text{alla initialtillstånd } = 0} = \mathcal{L}_I\{h(t)\}$$



## Systemfunktion, forts

Dvs. för energifria kausala LTI-system gäller

$$Y(s) = \mathcal{L}_I\{y(t)\} = \mathcal{L}_I\{(x * h)(t)\} = X(s)H(s)$$

För icke-kausala LTI-system gäller

$$Y_{II}(s) = X_{II}(s)H_{II}(s)$$

(Eventuell begynnelseenergi kan då inte hanteras)



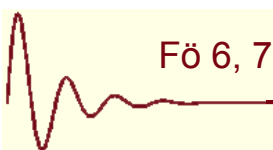
## Pol-Nollställediagram

$$H(s) = \frac{\sum_{j=0}^m b_j s^j}{\sum_{i=0}^n a_i s^i} = K \cdot \frac{\prod_{j=1}^m (s - n_j)}{\prod_{i=1}^n (s - p_i)}$$

$K$ : Nivåkonstanten =  $\frac{b_m}{a_n}$

$n_j$ : Nollställen till  $H(s)$  = täljarpolynomets nollställen

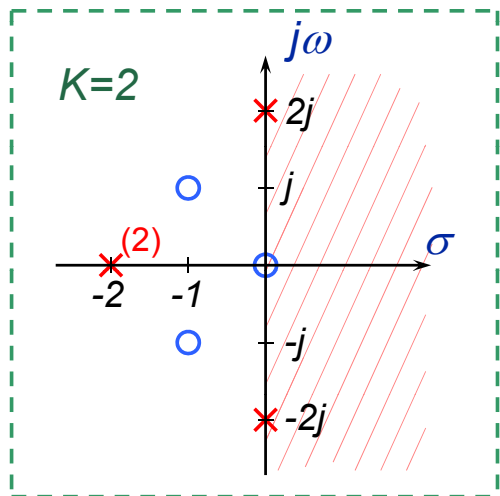
$p_i$ : Poler till  $H(s)$  = nämnarpolynomets nollställen



## Pol-Nollställediagram, forts

Exempel:

$$H(s) = \frac{2s^3 + 4s^2 + 4s}{s^4 + 4s^3 + 8s^2 + 16s + 16} = 2 \cdot \frac{s(s+1+j)(s+1-j)}{(s+2)^2(s+2j)(s-2j)}$$



Nollställen:

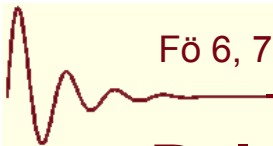
$$n_0 = 0 \quad n_1 = -1 - j \quad n_1 = -1 + j$$

Poler:

$$p_1 = p_2 = -2 \quad p_3 = -2j \quad p_4 = 2j$$

Konvergensområde för  $H(s)$

om *kausalt* system:  $\operatorname{Re}\{s\} > 0$



## Poler, nollställen och tidssignal

- Polerna anger, tillsammans med deras respektive positioner, vilka typer av termer (signalkomponenter) som ingår signalen.

Enkelpol (reell):  
 $(s = -\alpha, \operatorname{Re}\{s\} > -\alpha)$

$$\mathcal{L}^{-1}\left\{\frac{1}{s + \alpha}\right\} = e^{-\alpha t} \cdot u(t)$$

Enkla komplexkonj. polpar:  
 $(s = -\alpha \pm j\omega_0, \operatorname{Re}\{s\} > -\alpha)$

$$\mathcal{L}^{-1}\left\{\frac{\omega_0}{(s + \alpha)^2 + \omega_0^2}\right\} = e^{-\alpha t} \cdot \sin(\omega_0 t) \cdot u(t)$$

- Nollställena inverkar främst på den relativa styrkan av de olika termerna.

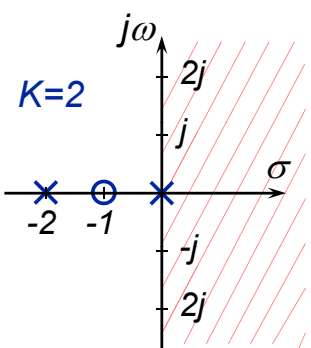


## Överlagrade pol-nollställediagram

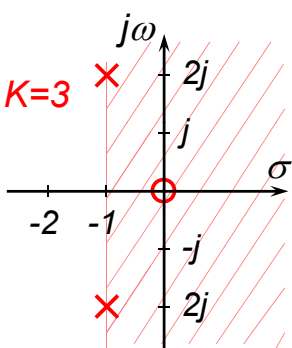
Exempel:  $x(t) = (1 + e^{-2t})u(t) \rightarrow h(t) \rightarrow y(t)$

$$X_I(s) = \frac{1}{s} + \frac{1}{s+2}$$

$$= \frac{2(s+1)}{s(s+2)}$$

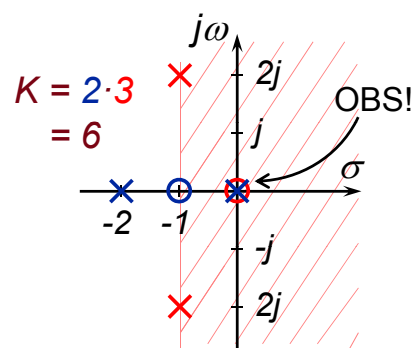


$$H_I(s) = \frac{3s}{(s+1)^2 + 2^2}$$



$$Y_I(s) = X_I(s) \cdot H_I(s)$$

$$= \frac{2(s+1)}{s(s+2)} \cdot \frac{3s}{(s+1)^2 + 2^2}$$





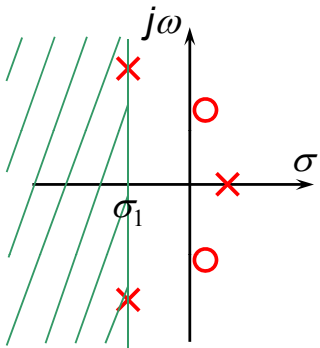
## KAUSALITET & konvergensområde för $H(s)$

De tre typerna av sammanhängande konvergensområde motsvarar för systemfunktionen  $H(s)$  olika kausalitetsfall:

Antikausalt system

$$h(t \geq 0) = 0$$

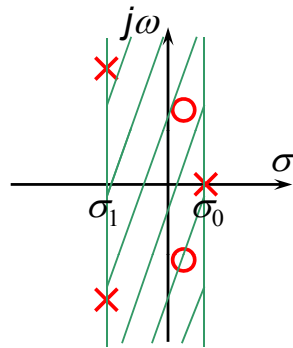
$$\underline{\text{Re}\{s\} < \sigma_1}$$



Allmänt icke-kausalt system

$$h(t < 0, t \geq 0) \neq 0$$

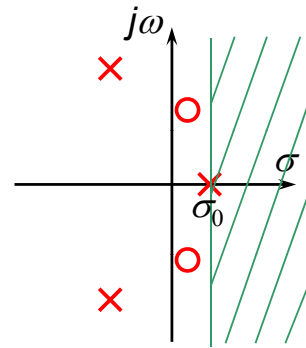
$$\underline{\sigma_1 < \text{Re}\{s\} < \sigma_0}$$



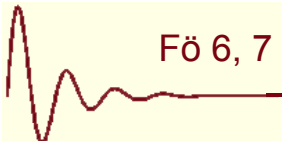
Kausalt system

$$h(t < 0) = 0$$

$$\underline{\text{Re}\{s\} > \sigma_0}$$

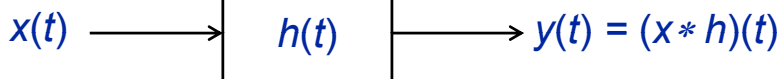


Copyright © Lasse Alfredsson, LiTH



## STABILITET

Energifritt  
LTI-system



Vi vet:

Systemet är stabilt omm  $|x(t)| \leq M < \infty \rightarrow |y(t)| \leq N < \infty \quad \forall t$

$$\Leftrightarrow \int_{-\infty}^{\infty} |h(t)| dt < \infty \quad \Rightarrow \quad \mathcal{F}\{h(t)\} = H(\omega) \quad \exists$$

Dvs.  $j\omega$ -axeln ligger i konvergensområdet för  $H(s)$

Dvs. för ett *stabilt LTI-system* gäller

$$H(\omega) = H(s) \Big|_{s=j\omega}$$

**Marginellt stabilt LTI-system**  $\Leftrightarrow j\omega$ -axeln utgör en *rand* till konvergensområdet för  $H(s)$  och alla dess poler på  $j\omega$ -axeln är enkla.

**OBS:** För systemfunktionen till ett stabilt eller marginellt stabilt LTI-system gäller att antal poler  $\geq$  antal nollställen

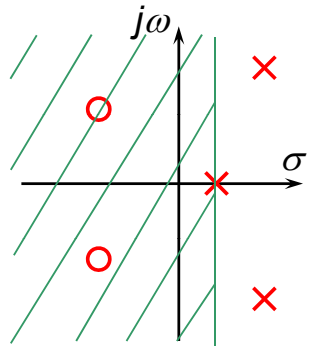
Copyright © Lasse Alfredsson, LiTH



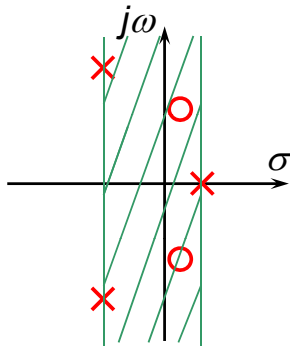
## Stabilitet & Kausalitet

För ett stabilt LTI-system med impulssvar  $h(t)$  och systemfunktion  $H(s)$  gäller ett av följande tre fall:

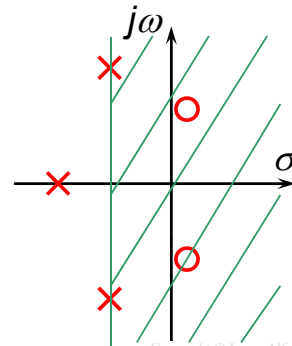
- 1)  $h(t \geq 0) = 0 \Rightarrow$   
Stabilt & Antikausalt  
 $\Rightarrow$  Alla poler i HHP



- 2) Allmän  $h(t) \Rightarrow$   
Stabilt & Icke-kausalt  
 $\Rightarrow$  Poler i VHP & HHP



- 3)  $h(t < 0) = 0 \Rightarrow$   
Stabilt & Kausalt  
 $\Rightarrow$  Alla poler i VHP

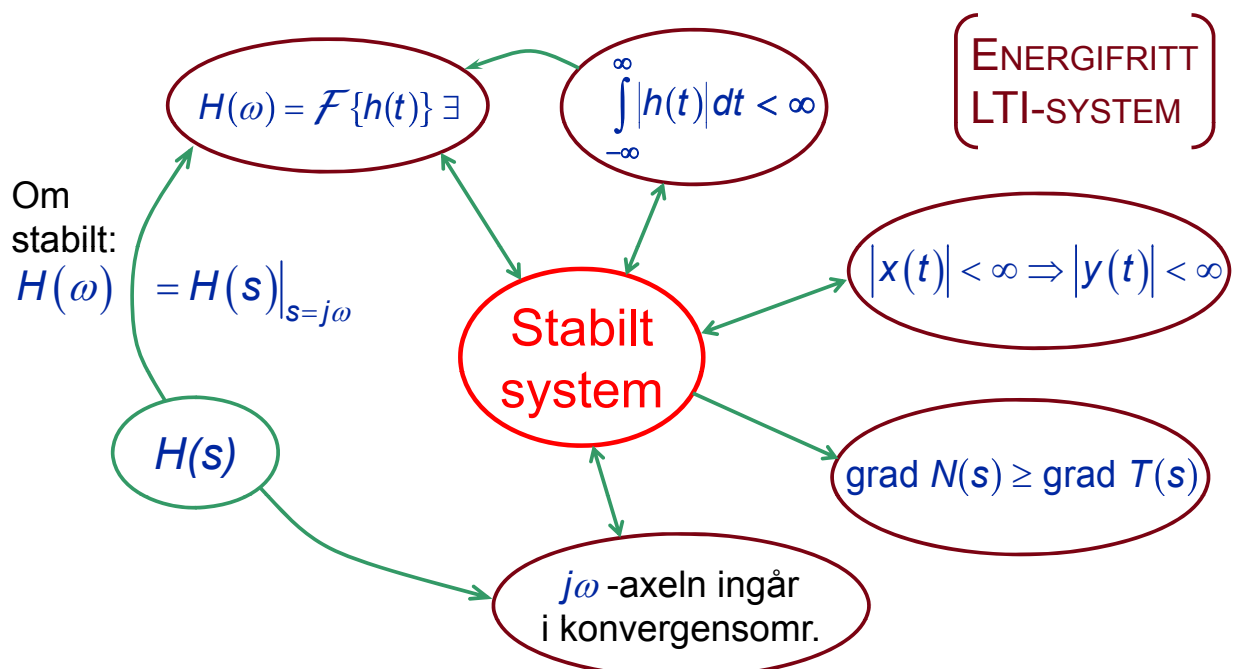


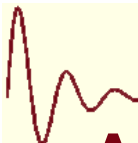
Copyright © Lasse Alfredsson, LiTH



## Stabilitetsrelationer,

$$H(s) = \frac{T(s)}{N(s)} \quad \exists$$





## Amplitud- & faskarakteristik (-spektrum)

$$H(\omega) = H_{I/II}(s) \Big|_{s=j\omega} = K \cdot \frac{\prod_{r=1}^m (s - n_r)}{\prod_{i=1}^n (s - p_i)} \Big|_{s=j\omega} = |H(\omega)| e^{j \arg H(\omega)}$$

↑  
Stabilt LTI-system

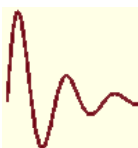
Amplitudkaraktäristiken:

$$|H(\omega)| = |K| \cdot \frac{\prod_{r=1}^m |j\omega - n_r|}{\prod_{i=1}^n |j\omega - p_i|}$$

Faskarakteristiken:

$$\begin{aligned} \arg H(\omega) = \arg K + \sum_{r=1}^m \arg(j\omega - n_r) \\ - \sum_{i=1}^n \arg(j\omega - p_i) \end{aligned}$$

Copyright © Lasse Alfredsson, LiTH



## Amplitud- & faskarakteristik, forts

Exempel, beräkning av frekvenskaraktäristik (eller -spektrum) från pol-nollställediagram:

Nollställevektorer:

$$\bar{N}_r = j\omega - \bar{n}_r$$

$$\begin{cases} \gamma_r = \arg \bar{N}_r \\ \alpha_i = \arg \bar{P}_i \end{cases}$$

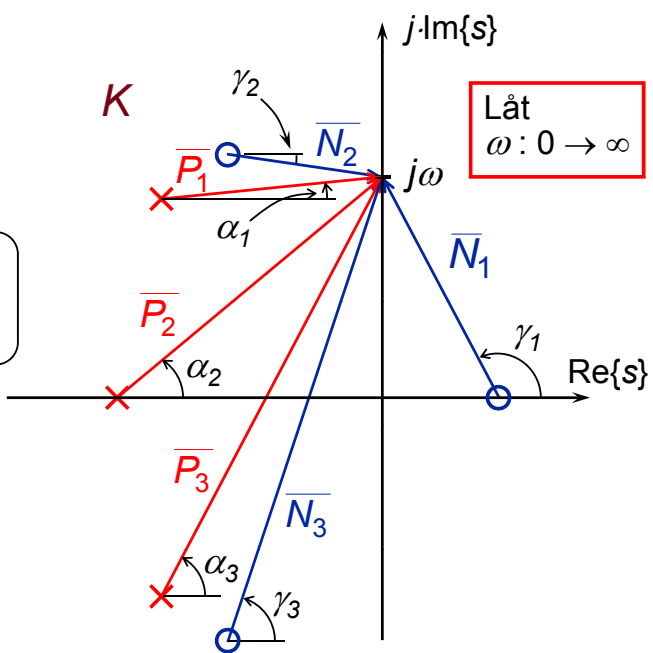
Polvektorer:

$$\bar{P}_i = j\omega - \bar{p}_i$$

$$\begin{cases} \alpha_r, \gamma_i \in ]-\pi, \pi] \\ \arg K \in \{0, \pi\} \end{cases}$$

$$|H(\omega)| = |K| \cdot \frac{|N_1| \cdot |N_2| \cdot |N_3|}{|P_1| \cdot |P_2| \cdot |P_3|}$$

$$\arg H(\omega) = \arg K + \sum_{r=1}^3 \gamma_r - \sum_{i=1}^3 \alpha_i$$



Copyright © Lasse Alfredsson, LiTH